

## **УПРАВЛЕНИЕ, ОПТИМИЗАЦИЯ И СТАБИЛИЗАЦИЯ ДИНАМИЧЕСКИХ СИСТЕМ**

УДК 519.3:62–50

*Ж.Ш. Шаршеналиев, Т.П. Самохвалова, Л.В. Третьякова  
Институт автоматизации и информационных технологий НАН КР*

### **АЛГОРИТМ СТАБИЛИЗАЦИИ ВЫСОКОТЕМПЕРАТУРНЫХ РЕЖИМОВ ОБЪЕКТА**

Построены алгоритмы управления и стабилизации для нелинейной системы с сосредоточенными параметрами. Алгоритмы основаны на методе динамического программирования Р. Беллмана и методе характеристик. Расчеты сравниваются с расчетами по методу Л. Понтрягина.

*Ключевые слова:* оптимальное управление; стабилизация; метод характеристик; скачки величины управления.

**Введение.** В работах [1–2] разработан способ решения задач оптимального управления и стабилизации со степенными нелинейностями с помощью функционально-степенных рядов В.И. Зубова. Оказалось, что с повышением размерности модели управляемой системы возрастает сложность составления вспомогательной бесконечной системы уравнений типа Риккати. В рамках метода динамического программирования Р. Беллмана на основании работ [3–5 и др.] была предпринята попытка найти другой способ решения уравнения Беллмана для задач управления с обратной связью [6–8].

В данной работе полученные методом характеристик алгоритмы применяются для стабилизации высокотемпературного нагрева с излучением тепла. Уменьшены или устранены резкие скачки величины управления при периодическом измерении состояния одномерного динамического объекта.

#### **1. Постановка задачи**

Математическую модель нагрева управляемого объекта с излучением тепла запишем в виде

$$\frac{dx(t)}{dt} = Ax(t) + Bp(t) - \gamma\sigma x^4(t), \quad x(0) = x_0, \quad t \in [0; t_k]. \quad (1.1)$$

При отсутствии излучения ( $\gamma = 0$ ) модель нагрева линейная:

$$\frac{dx(t)}{dt} = Ax(t) + Bp(t), \quad x(0) = x_0, \quad t \in [0; t_k]. \quad (1.2)$$

В численных расчетах для удовлетворительного достижения заданного желаемого состояния  $g(t)$  объекта используем минимизацию квадратичного критерия качества

$$J = \gamma_1 \int_0^{t_k} (x(t) - g)^T Q(x(t) - g) dt + \gamma_2 (x(t_k) - g)^T F(x(t_k) - g) + \beta \int_0^{t_k} p^2(t) dt. \quad (1.3)$$

Здесь  $A, Q, F$  – известные  $n \times n$  матрицы;  $B, x, g$  – вектор-столбцы размерности  $n \times 1$ ;  $\gamma, \gamma_1, \gamma_2, \beta, t_k$  – известные постоянные;  $\sigma$  – коэффициент Стефана-Больцмана;  $p(t)$  –

скалярная управляющая функция из множества допустимых управлений, характеризует удельную мощность электрического тока;  $(^T)$  – символ транспонирования.

*Задача 1.1.* Найти управление  $p(t)$  и соответствующее решение  $x(t)$  уравнения (1.1), минимизирующие критерий качества (1.3).

Линейную задачу (1.2), (1.3) ( $\gamma = 0$ ) решаем методом динамического программирования Р. Беллмана.

Уравнение Беллмана с обращенным временем ( $t = t_k - \tau$ ,  $dt = -d\tau$ ) имеет вид

$$\frac{\partial S(t, x(t))}{\partial t} = (Ax)^T \frac{\partial S(t, x(t))}{\partial x} + \gamma_1(x - g)^T Q(x - g) - \frac{B^T B}{4\beta} \left( \frac{\partial S(t, x(t))}{\partial x} \right)^T \frac{\partial S(t, x(t))}{\partial x}, \quad (1.4)$$

с условием  $S(0, x) = \gamma_2(x(0) - g)^T F(x(0) - g)$ .

Оптимальное синтезирующее управление равно

$$p^0(t, x(t)) = -\frac{1}{2\beta} B^T \frac{\partial S(t, x(t))}{\partial x}. \quad (1.5)$$

В работах [6, 7] предложен новый вариант решения уравнения Беллмана, который основывается на методе параметризации и характеристик Н.М. Гюнтера [3] и методе дополнительного аргумента [4, 5]. На рис. 1 показано местонахождение предложенного способа решения среди других методов.



Рисунок 1. Методы решения задач оптимального управления

Линеаризованное уравнение Беллмана (1.4) при  $n = 1$ ,  $A < 0$  запишем в виде

$$\frac{\partial S(t, x)}{\partial t} - Ax \frac{\partial S(t, x)}{\partial x} = \left( \gamma_1 Q - \frac{B^2}{\beta} \gamma_2^2 F^2 \right) (x - g)^2, \quad S(0, x) = \gamma_2 F(x - g)^2 \quad (1.6)$$

и применим методы [3–5]. Приближенное стабилизирующее управление  $p(x(t))$ , полученное из (1.5), (1.6) по методу характеристик с линеаризацией уравнения Беллмана, имеет вид [6, 7]:

$$p(x(t)) = -\frac{b}{2A\beta} Mx(t) + \frac{Bg}{A\beta} M, \quad M = \gamma_1 Q - \frac{B^2}{\beta} \gamma_2^2 F^2. \quad (1.7)$$

По технологическим требованиям часто достаточно, чтобы состояние объекта попадало в 5% зону от заданной желаемой величины  $g(t)$ .

Известно, что в численных расчетах на графиках часто возникает резкий скачок или «горб» величины управления в начале интервала времени. В высокотемпературных объектах этот скачок особенно резко выражен. Для уменьшения величины скачка в [8] было предложено переходить в заданную зону с помощью функции  $g(t)$  в критерии качества, выбранной в виде экспоненты с асимптотой

$$\lim_{t \rightarrow \infty} g(t) \equiv konst,$$

и выбирать параметры этой экспоненты. В [8] показано, что выбор параметров в  $g(t)$  позволяет сгладить или устранить резкие скачки величины управления не только в начале интервала времени, но и в моменты периодического контроля состояния объекта. Данная работа продолжает [8], расчеты по методу характеристик сравниваются с расчетами по принципу максимума Л.С.Понтрягина и методом функций Риккати.

## 2. Расчеты по методу Понтрягина

Линейную задачу (1.2), (1.3) ( $\gamma = 0$ ) решаем методом принципа максимума Л.С.Понтрягина.

В методе Понтрягина требуется решить систему дифференциальных уравнений

$$\begin{aligned} \frac{dx(t)}{dt} &= Ax(t) - \frac{B^2}{2\beta a_0} \psi(t), \quad x(0) = x_0, \quad t \in [0; t_k]; \\ \frac{d\psi(t)}{dt} &= -2a_0\gamma_1 Qx(t) - A\psi(t) + 2a_0\gamma_1 Qg, \quad \psi(t_k) = \psi_k, \quad a_0 = 1. \end{aligned} \quad (2.1)$$

Оптимальное программное управление вычисляется по формуле

$$p^0(t) = -\frac{B}{2\beta a_0} \psi(t). \quad (2.2)$$

В результате расчетов по принципу максимума Понтрягина в линейной задаче получены следующие графики (рис. 2–4) вспомогательной (сопряженной) функции  $\psi(t)$ , управления  $p(t)$ , температуры  $x(t)$ .

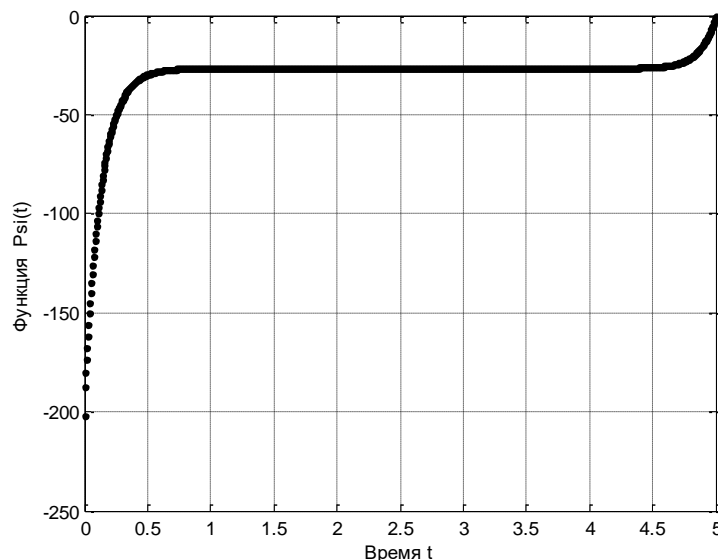


Рисунок 2. Вспомогательная (сопряженная) функция  $\psi(t)$

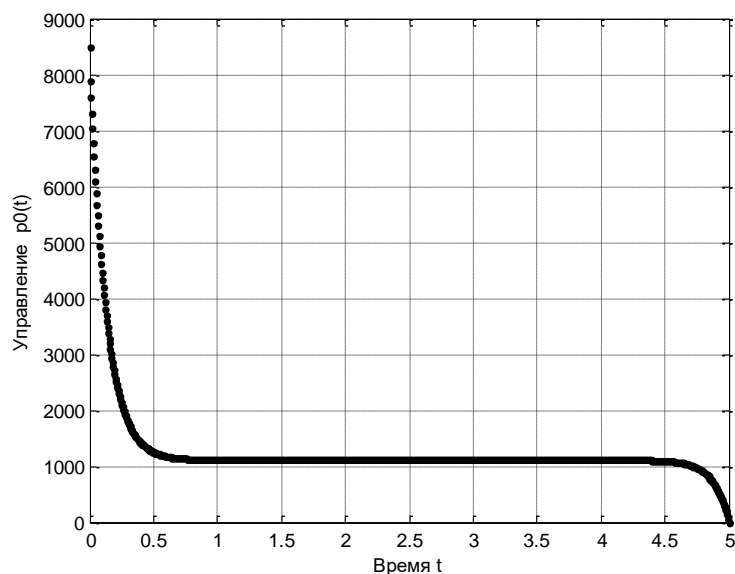


Рисунок 3. Программное управление  $p^0(t)$

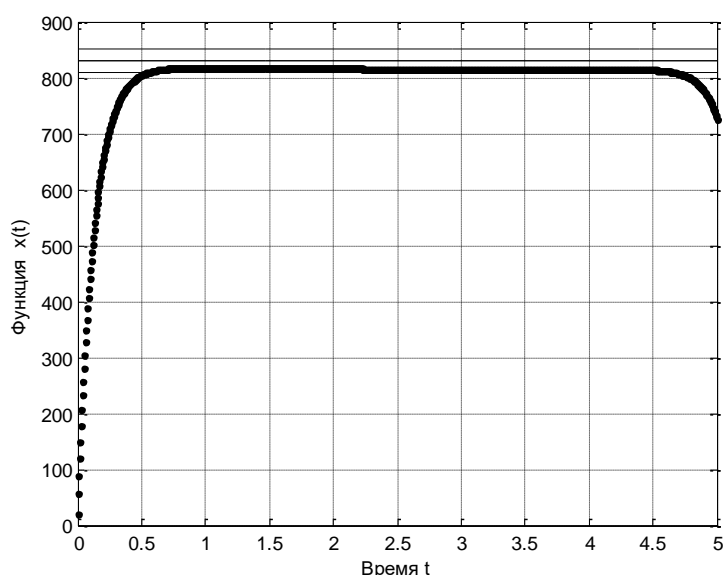


Рисунок 4. Температура  $x(t)$

Рис. 3 показывает наличие скачка и наличие интервала стационарности в программном управлении (2.2), рис. 4 показывает приближение температуры к заданной зоне так же, как и в синтезирующих (с обратной связью) управлениях, построенных по функциям Риккати и характеристикам (1.7).

В процессе расчетов был модифицирован известный метод «стрельбы из неизвестной начальной точки  $\psi(t_0)$  в известную конечную точку  $\psi(t_k)$ », при этом конечное условие  $\psi(t_k) = \psi_k$  вычисляется не точно.

В данной работе предложен вариант «стрельбы из неизвестной начальной точки  $\psi(t_0)$  в неизвестный минимум критерия качества  $J(\psi(t_0))$ », при этом конечное условие  $\psi(t_k) = \psi_k$  выполняется точно. Относительно минимума  $J$  известно, что он существует и единственный и вычисляется по формуле (1.3),  $J \geq 0$ .

Линейная модель (1.2) управляемого процесса одномерная, это позволяет систему (2.1) принципа максимума (два уравнения первого порядка) свести к одному уравнению второго порядка относительно  $\psi(t)$  (двухточечная краевая задача с неизвестным начальным условием), которое решаем численно методом прогонки. Если удастся точно найти начальное условие  $\psi(t_0)$ , то найдем  $\psi^0(t)$ , затем по формуле (2.2) найдем оптимальное программное управление  $p^0(t)$ , по (1.2) соответствующее  $x^0(t)$  и по (1.3) вычислим минимум критерия  $J^0 = J(\psi(t_0))$ .

На рис. 5–7 приведены графики зависимости неявной функции  $J(\psi(t_0))$  от выбора начальной точки  $\psi(t_0)$  с шагом  $h = 0,01$ .

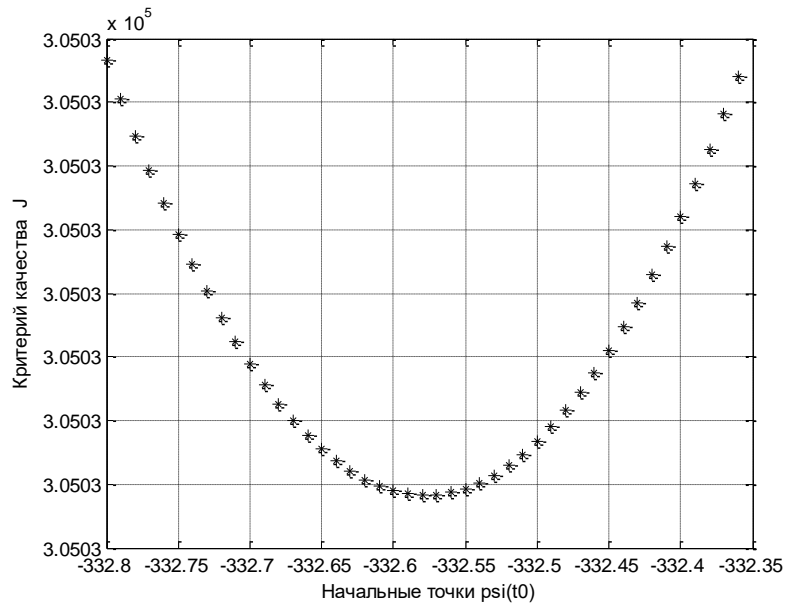


Рисунок 5. График зависимости величины критерия качества  $J$  от выбора начальной точки  $\psi(t_0)$

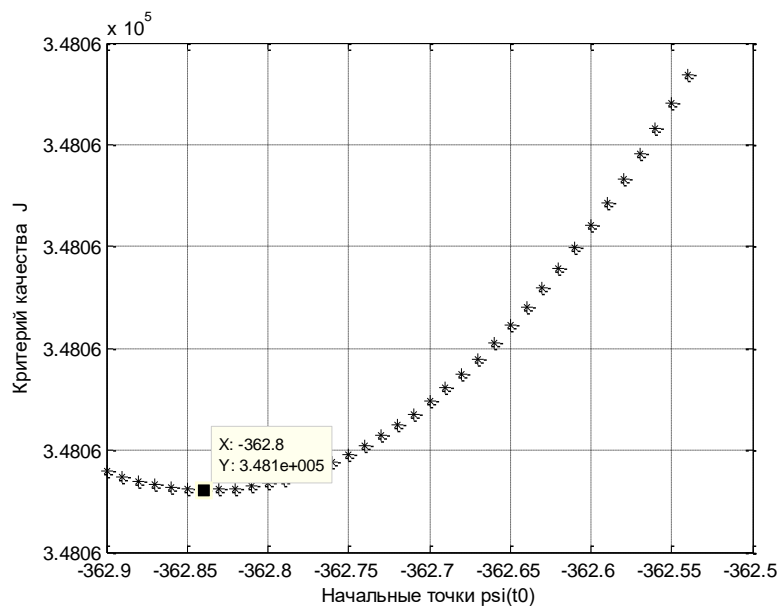


Рисунок 6. Минимум критерия  $J$  при  $\beta = 0,03$

Минимум критерия  $J$  при  $\beta = 0,03$ ;  $N = 1900$  расположен между  $\psi_1 = -362,85$  и  $\psi_2 = -362,84$ , разность соответствующих величин  $J$  равна  $J_1 - J_2 = -0,0001$ .

Минимум критерия при  $\beta = 0,03$  полагаем равным  $J = 3,4806 \times 10^5$ .

Уменьшив шаг  $h$  выбора начальной точки  $\psi(t_0)$ , можно получить более точные величины  $\psi(t_0)$  и  $J$ .

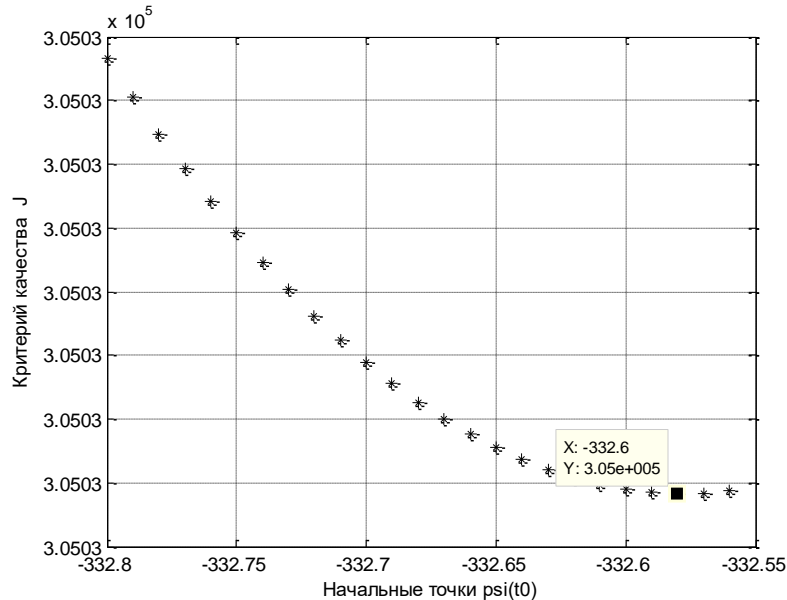


Рисунок 7. Минимум критерия  $J$  при  $\beta = 0,025$

Минимум критерия  $J$  при  $\beta = 0,025$ ;  $N = 1900$  расположен между  $\psi_1 = -332,59$  и  $\psi_2 = -332,58$ , разность соответствующих величин  $J$  равна  $J_1 - J_2 = -0,0002$ .

Минимум критерия при  $\beta = 0,025$  полагаем равным  $J = 3,0503 \times 10^5$ .

Таким образом, получили, что расчеты по методу Понтрягина показывают скачок величины управления в начале интервала времени (рис. 3). При  $g \equiv 830$ ,  $\beta = 0,03$  скачок равен 4968,5, на интервале стационарности величина управления около 1113,2. Это удовлетворительно совпадает с расчетами по функциям Риккати [2] и по характеристикам [8].

Далее рассмотрим возможность уменьшения скачка в расчетах методом Понтрягина. Как в [8], функцию  $g$  возьмем в виде экспоненты  $g \equiv a + be^{\alpha t}$  с различными величинами  $\alpha = -15$ ;  $-5$ ;  $-1$ .

*Автоматизированная обратная связь в методе Понтрягина.* Известно, что явные относительно  $x(t)$  аналитические формулы вида (1.7) синтезирующего управления позволяют реализовать обратную связь с управляемым объектом. При наличии быстродействующего компьютера можно численно организовать обратную связь в формулах (2.1), (2.2) метода Понтрягина. В (2.2) неявно присутствуют  $x(t)$  и начальное условие  $x_0$  из (2.1). В моменты  $t_j$ ,  $j = 1, \dots, N$ , контроля за текущим состоянием объекта в уравнениях (2.1) полагаем  $x_0$  равным измеренной величине:  $x_0 = x(t_j)$ . Обращение к стандартным программам сокращает время расчетов новой функции  $\psi(t)$ . Получаем график процесса на интервале  $[t_0, t_k]$  с измерением в моменты  $t_0, t_1, t_2$  (рис. 8).

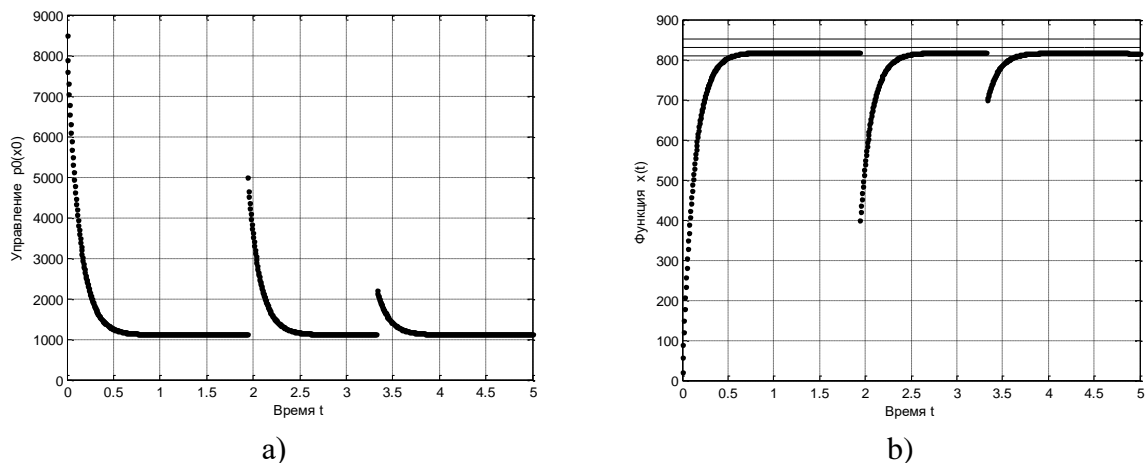


Рисунок 8. а) Скачки управления,  $g \equiv 830$ . б) Температура измерений 20; 400; 700.

### 3. Нелинейная задача

В нелинейной задаче (1.1), (1.3) ( $\gamma = 1$ ) используем алгоритм управления (1.7) линейной задачи (1.2), (1.3), построенный методом характеристик с выбранным параметром  $\alpha$ . Результаты расчетов удовлетворительные.

**Заключение.** Численные расчеты показали, что алгоритмы управления на основе методов Понтрягина, Беллмана с функциями Риккати, характеристик и дополнительного аргумента в рассмотренных примерах приводят к удовлетворительно совпадающим результатам.

### Литература

1. Шаршеналиев Ж.Ш., Самохвалова Т.П., Сактанов У.А. Моделирование и оптимизация управляемых технологических процессов. – Бишкек: Илим, 2009. – 242 с.
2. Шаршеналиев Ж.Ш., Самохвалова Т.П. Приближенные алгоритмы управления и стабилизации в системах с сосредоточенными и распределенными параметрами / Итоги науки. Т. 2. Избранные труды Международного симпозиума по фундаментальным и прикладным проблемам науки. – М.: РАН, 2014. – С. 75–110.
3. Гюнтер Н.М. Интегрирование уравнений в частных производных первого порядка. – Л.-М.: ОНТИ, 1934.
4. Иманалиев М.И. Нелинейные интегро-дифференциальные уравнения с частными производными. – Бишкек: Илим, 1992. – 112 с.
5. Иманалиев М.И., Алексеенко С.Н. // Доклады АН СССР. 1992. Т. 323. № 3. С. 410–414; 1992. Т. 325. № 6. С. 111–115; 1993. Т. 329. № 5. С. 543–546.
6. Самохвалова Т.П. Приближенное решение уравнения Беллмана методом характеристик // Проблемы автоматизации и управления. 2016. № 2 (31). – С. 51–56.
7. Самохвалова Т.П. Приближенное решение уравнения Беллмана / Материалы Междунар. научн. конф. «Механика твердых, жидких и газообразных сред», посвящ. 80-летию д.ф.-м.н., проф. Я.И. Рудаева, 2–3 декабря 2016 // Вестник Кыргызско-Российского Славянского университета. –2017. – Т. 17. № 1. – С. 52–54.
8. Шаршеналиев Ж.Ш., Самохвалова Т.П., Макиенко Д.О. Алгоритм управления с периодическим контролем состояния объекта // Проблемы автоматизации и управления. – 2017. № 2 (33). – С. 3–9.